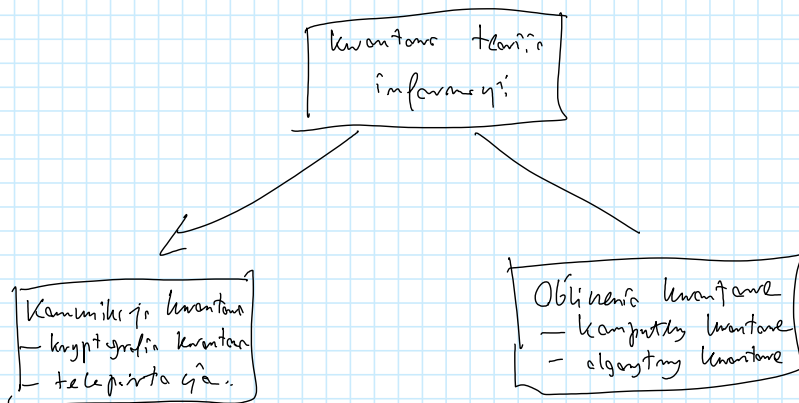


Obliczenia kwantowe

1. Wstęp

Kwantowa teoria informacji - przetwarzanie informacji korzystając z praw fizyki kwantowej, opieranie na pojedynczych układach kwantowych, atomach, fotonach



Dziś możemy mówić o podziale o komunikacji kwantowej oraz znaczenie mówić o obliczeniach.

Obecnie komputery też używają praw fizyki kwantowej: struktura półprzewodników, tranzystory, momenty magnetyczne atomów (spiny)

Ale ...

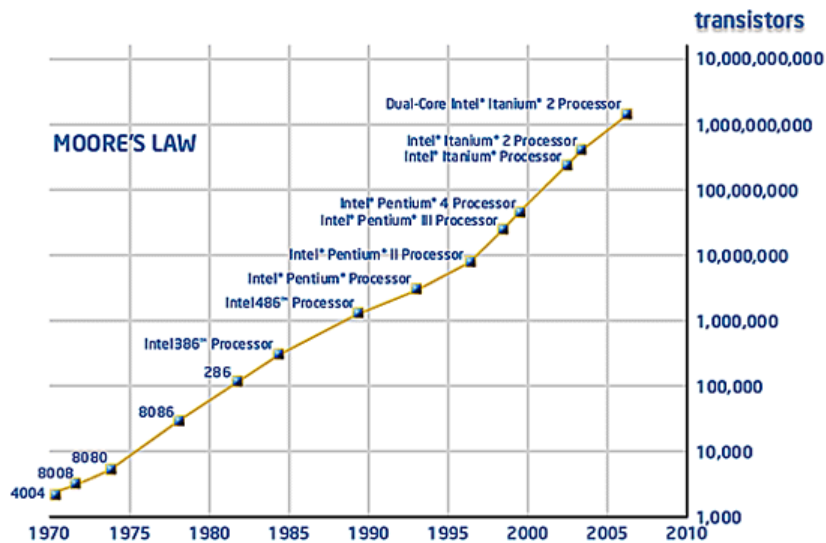
- 1 bit danych na dysku twardego: ($d \approx 0,5 \mu\text{m}$)

$$250 \text{ nm} \times 250 \text{ nm} \times 25 \text{ nm} \approx 12,5 \text{ mln atomów}$$

- 1 tranzystor w CPU

$$50 \text{ nm} \times 50 \text{ nm} \times 25 \text{ nm} \approx 500 \text{ tys atomów}$$

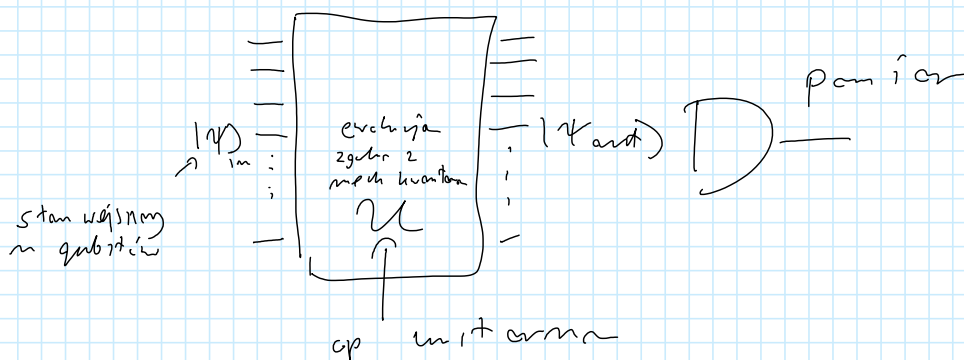
Wciąż dość dużo. Nie jesteśmy na etapie żeby używać pojedynczych atomów do obliczeń i wykonać pełne możliwości fizyki kwantowej. Kiedy zajdzie do poziomu 1 atomu.



Rozmiar tranzystorów zmniejsza się dwa razy co dwa lata.
 Według przewidywań od roku 2030-2050.
 Nowe technologie to nastąpić nie oznacza to, że mamy
 już komputer kwantowy.

Musimy znaleźć utrymnie kwantowa superprędkość
 tak aby móc wykorzystać potężny mech. kwantowy

2. 1. idea



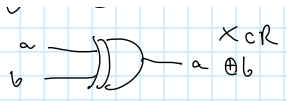
o Klasyka komputerowa budujemy z szeregiem z prostych elementów
 bramki:

\neg NOT, \Rightarrow AND, \vee OR, \oplus XOR ..

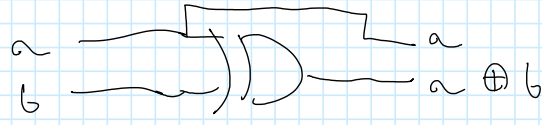
Wiadomo, że np. każdy układ logiczny można zbudować z bramki

NAND \Rightarrow NOT, AND

o W klasycznej komputerach szeregiem używamy bramki nieelementaryjne

(dwa bity można rozumieli inaczej)  $a \oplus b$ nie da się odwrócić ujęciu 2 bitu wyjątkowo

• Mierzony czynniki w klasycznych obliczeniach bierze odwrotność, wystawny mp.



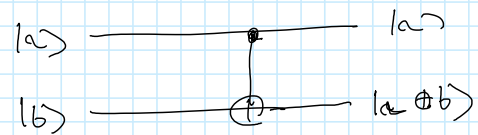
Kosztom kompilacji obwodów, zarysuj się tego nie robi. Pomysłowy problem, że liczba w zadaniu jest odwrócona. Nieodwrócić bierze się z tego że po prostu ignorujemy jakieś stopnie swobody

• Myślenie o komputerach kwantowych mogą operacje unitarne -
 - które są odwracalne. Mierzony czynnik też zrobić nie odwracalne mp, dlatego po prostu z wyjątkiem gubienia, ale to zarysuj miary kwantowe superponuje, więc nadal ma sens: Ogranicz się więc do operacji unitarnych.

Chcemy mieć elementarne bramki.
 z klasycznych można złożyć dowolny op. U.
 Bramki te muszą być odwracalne.

• Bramka CNOT

- $|0\rangle|0\rangle \longrightarrow |0\rangle|0\rangle$
- $|0\rangle|1\rangle \longrightarrow |0\rangle|1\rangle$
- $|1\rangle|0\rangle \longrightarrow |1\rangle|1\rangle$
- $|1\rangle|1\rangle \longrightarrow |1\rangle|0\rangle$

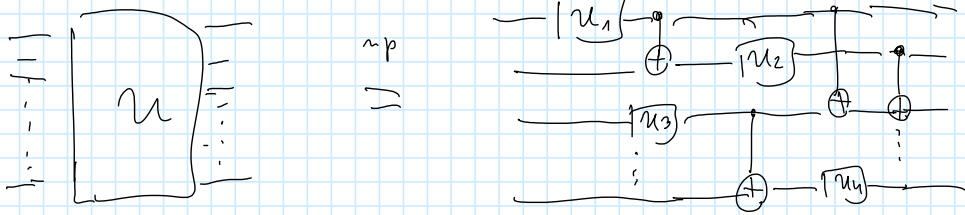


$$U_{\text{CNOT}} = \begin{bmatrix} 1 & 0 & 0 & 0 \\ 0 & 1 & 0 & 0 \\ 0 & 0 & 0 & 1 \\ 0 & 0 & 1 & 0 \end{bmatrix}$$

w baze $|0\rangle|0\rangle, |0\rangle|1\rangle, |1\rangle|0\rangle, |1\rangle|1\rangle$.

Mylac Weganie to jest taki odpowiednik XOR

Fakt Kiedy wielobitowa U może być zastąpiona przez jednobitową op. unitarną i bramki CNOT



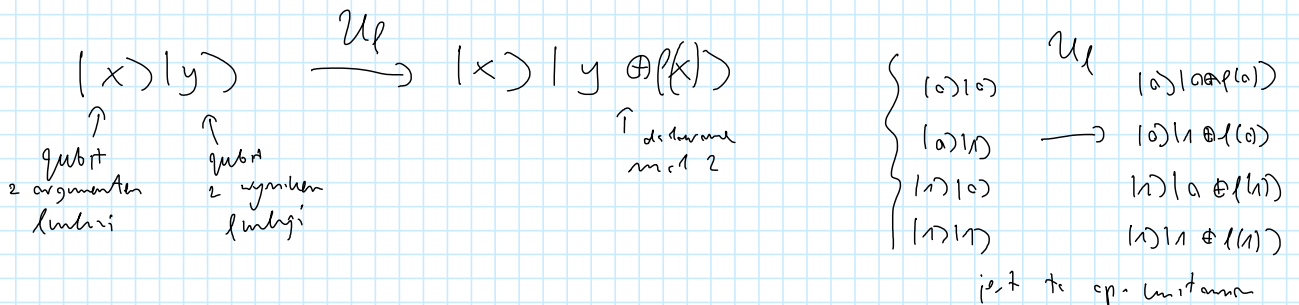
W celu osiągnięcia prostoty w celu bramek jednobitowych (∞ lubo obrotów sfery Blocha) można np. wybrać:

- $[H]$ bramka Hadamarda $H = \frac{1}{\sqrt{2}} \begin{bmatrix} 1 & 1 \\ 1 & -1 \end{bmatrix}$ $\left\{ \begin{array}{l} H^T H = I \end{array} \right.$
- $[U_\varphi]$ operacja fazy φ (bramka kontrolna) $U_\varphi = \begin{bmatrix} 1 & 0 \\ 0 & e^{i\varphi} \end{bmatrix}$ (np. $\varphi = \frac{\pi}{2}$ - kontrolówka)

3. Kwantowy Parallelizm - dlaczego komputer kwantowy ma szansę być szybszy?

Idea: $f: \{0,1\} \rightarrow \{0,1\}$ jedno bitowa funkcja $f(0), f(1)$

wyobraźmy sobie że kodujemy funkcję f w bramce kwantowej U_f

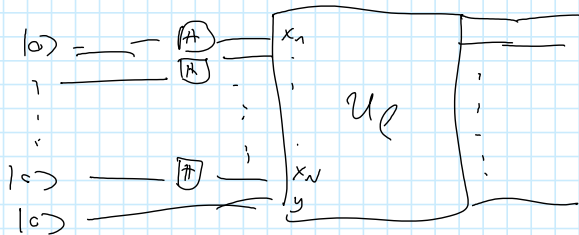


$$\begin{aligned}
 & |0\rangle \xrightarrow{H} \frac{1}{\sqrt{2}}(|0\rangle + |1\rangle) \\
 & \xrightarrow{U_f} \frac{1}{\sqrt{2}}(|0\rangle + |1\rangle)|0\rangle = \frac{1}{\sqrt{2}}(|0\rangle|0\rangle + |1\rangle|0\rangle) \xrightarrow{U_f} \frac{1}{\sqrt{2}}(|0\rangle|f(0)\rangle + |1\rangle|f(1)\rangle)
 \end{aligned}$$

Uzgliamy teraz niezobliwione f a mamy stan $|x\rangle$ w którym
 pokazujemy jest f zwracamy dla $f(0)$ i $f(1)$.
 „Liczby nieważne” $f(0)$ i $f(1)$ daliśmy temu, że
 wpisaliśmy je do superpozycji.

Ogólniejsze: $f: \{0,1\}^N \rightarrow \{0,1\}$ funkcja na N bitach

$$|x_1, \dots, x_N, y\rangle \xrightarrow{U_f} |x_1, \dots, x_N, y \oplus f(x_1, \dots, x_N)\rangle$$



$$|0\rangle^{\otimes N} |0\rangle \xrightarrow{H^{\otimes N} \otimes I} \left(\frac{1}{\sqrt{2}}(|0\rangle + |1\rangle) \right)^{\otimes N} \otimes |0\rangle =$$

$$= \frac{1}{\sqrt{2^N}} (|0\rangle \dots |0\rangle + |0\rangle \dots |1\rangle + \dots + |1\rangle \dots |1\rangle) \otimes |0\rangle \xrightarrow{U_f}$$

wystanie N linie N bitowe

$$= \frac{1}{\sqrt{2^N}} (|0\rangle \dots |0\rangle \otimes |f(0, \dots, 0)\rangle + |0\rangle \dots |1\rangle \otimes |f(0, \dots, 1)\rangle + \dots + |1\rangle \dots |1\rangle \otimes |f(1, \dots, 1)\rangle)$$

„Policzliście” w jednym obliczeniu wartości funkcji f dla
 wszystkich 2^N możliwych danych wejściowych.

Nadziejemy, że wylicziliśmy je wszystkie wartości f .
 Ale nie tak szybko - nie istnieje pomiar pozwalający
 jednocześnie uzyskać wszystkie wartości f . Mianowicie
 w stanie $|0, \dots, 0\rangle, \dots, |1, \dots, 1\rangle$. Stąd musimy się nam
 nie polegać z czasem superpozycji i pomiar tylko jednej
 wartości f .

Ale mamy ten problem w którymś takim obliczeniu
 wszystkich f jest elementem pośrednim a nie licząc
 obliczamy jedną wartość f i wystarczą jeden
 pomiar żebyśmy posiadali wynik.

Algorytm Deutsch

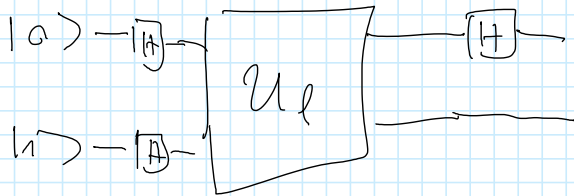
Najprościej: czy istnieje niepydający algorytm sprawdzający

Rewersyjność funkcji $f: \{0,1\} \rightarrow \{0,1\}$.

Pytamy się czy funkcja jest różnowartościowa?

Klasyczna funkcja musiałaby policzyć 2 rzeczy.

A few mamy pułki kwantowe wystarczą



$$U_f |x, y\rangle = |x, y \oplus f(x)\rangle$$

$$\frac{1}{\sqrt{2}}(|0\rangle + |1\rangle) \otimes \frac{1}{\sqrt{2}}(|0\rangle - |1\rangle) \xrightarrow{U_f} \frac{1}{2} (|0\rangle (|f(0)\rangle - |1 \oplus f(0)\rangle) + |1\rangle (|f(1)\rangle - |1 \oplus f(1)\rangle)) =$$

$$= \frac{1}{2} ((-1)^{f(0)} |0\rangle (|0\rangle - |1\rangle) + (-1)^{f(1)} |1\rangle (|0\rangle - |1\rangle)) =$$

$$= \frac{1}{2} ((-1)^{f(0)} |0\rangle + (-1)^{f(1)} |1\rangle) \otimes \frac{1}{\sqrt{2}} (|0\rangle - |1\rangle)$$

$$= \frac{1}{2\sqrt{2}} ((-1)^{f(0)} (|0\rangle + |1\rangle) + (-1)^{f(1)} (|0\rangle - |1\rangle)) \otimes \frac{1}{\sqrt{2}} (|0\rangle - |1\rangle) =$$

$$= \left(\frac{1}{2} \left[(-1)^{f(0)} + (-1)^{f(1)} \right] |0\rangle + \frac{1}{2} \left[(-1)^{f(0)} - (-1)^{f(1)} \right] |1\rangle \right) \otimes \frac{1}{\sqrt{2}} (|0\rangle - |1\rangle)$$

1 - f stała
0 - f. ramowa

1 - f ramowa
0 - f stała

Mniejszy mniej qubit jeśli mamy $|0\rangle \Rightarrow$ f. stała
 $|1\rangle \Rightarrow$ f. ramowa

Dzięki temu że policzono f(0) i f(1) jednocześnie udało się sprawdzić czy f jest stała czy ramowa

kwantka.

Algorytm Grovera

Kwantowe przeszukiwanie nieopracowanej bazy danych. Możemy szukać się 2 N ($N=2^m$) elementów.

Możemy mieć funkcję identyfikującą poszukiwany element:

$$f(x) = 1 \quad \text{gdy } x \text{ jest poszukiwanym elementem}$$

$$f(x) = 0 \quad \text{w przeciwnym razie}$$

Jaki sens mają pojedyncze elementy, musimy średnio obliczyć funkcję f , $\sim \frac{N}{2}$ razy. Czy kwantowo da się lepiej?

Zacznijmy od zwykłej kwantowej wersji f

$$U_f |x\rangle |y\rangle = |x\rangle |y \oplus f(x)\rangle$$

n qubitów 1 qubit

$$U_f$$

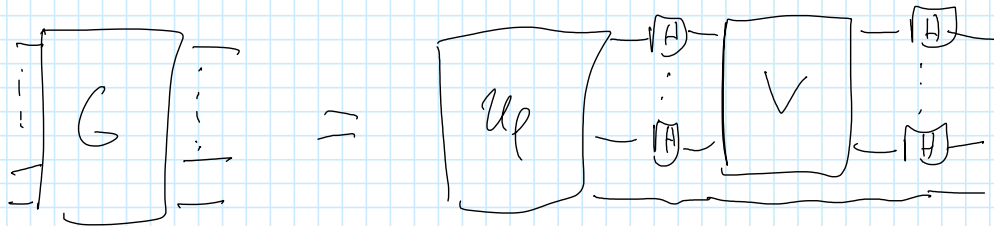
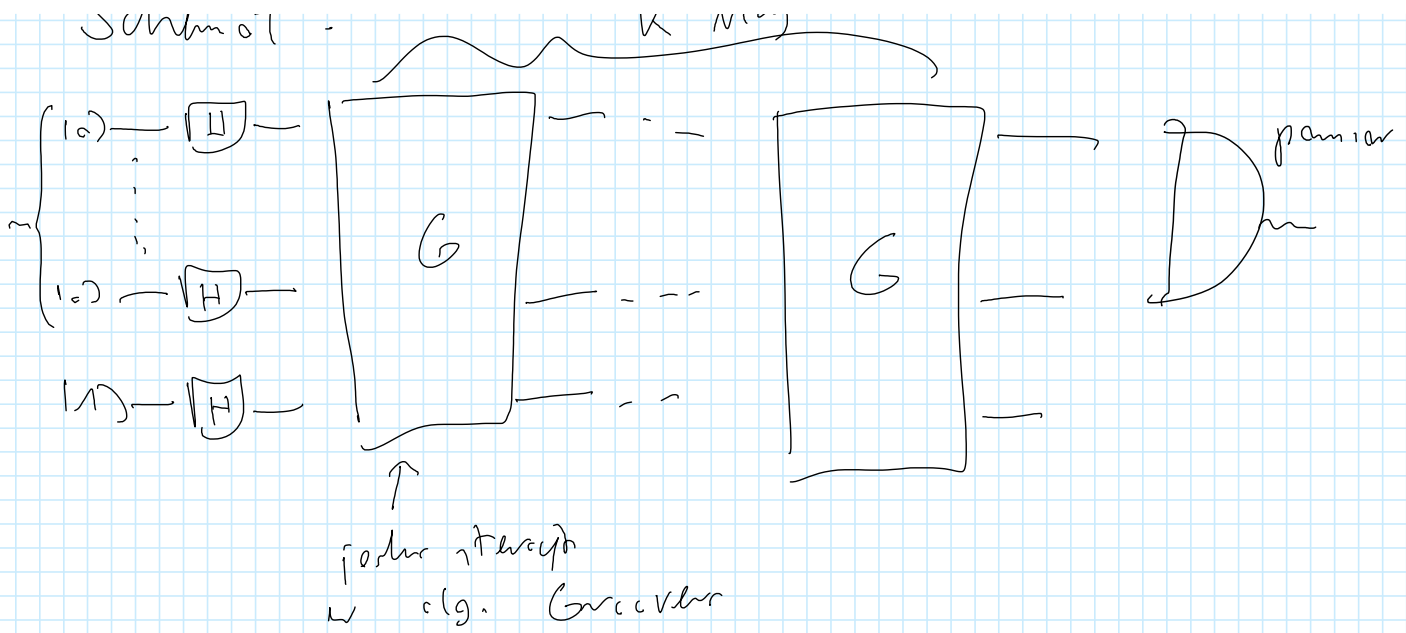
Zauważmy że:

$$U_f |x\rangle \frac{1}{\sqrt{2}}(|0\rangle - |1\rangle) = (-1)^{f(x)} \frac{1}{\sqrt{2}}(|0\rangle - |1\rangle)$$

W dolnym ciągu mamy ignorancję ostatni qubit
analogicznie zawsze przekształca w stan $\frac{1}{\sqrt{2}}(|0\rangle - |1\rangle)$

Schemat:





V - unitar $\dagger = \hat{V}$

$$V|0\rangle = |c\rangle$$

$$V|x\rangle = -|x\rangle, \quad x > 0$$

$$V = 2|c\rangle\langle c| - \hat{1}$$

$$H^{\otimes N} V H^{\otimes N} = 2|\psi\rangle\langle\psi| - \hat{1}, \quad \text{grke}$$

$$|\psi\rangle = \frac{1}{\sqrt{N}} \sum_x |x\rangle$$

cepl: $G = (2|\psi\rangle\langle\psi| - \hat{1}) U_p$

Mech $|x_0\rangle$ - bled odpowiadajac stanowi

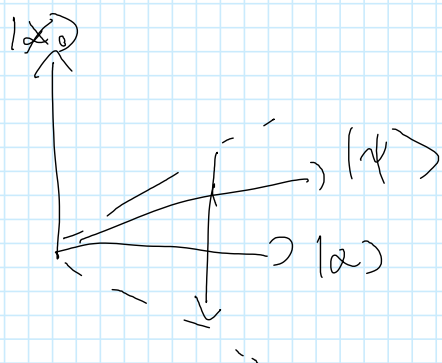
Mech $|\alpha\rangle = \frac{1}{\sqrt{N-1}} \sum_{x \neq x_0} |x\rangle$ bled superpozycja pozostałych stanów.

Rozwazmy jak dziala G na superpozycje $|\alpha\rangle$ i $|x_0\rangle$

Zauwazmy ze $|\psi\rangle = \sqrt{\frac{N-1}{N}} |\alpha\rangle + \frac{1}{\sqrt{N}} |x_0\rangle$
 jest przeciwna.

$$G(a|\alpha\rangle + b|x_0\rangle) = (2|\psi\rangle\langle\psi| - I)(a|\alpha\rangle + b|x_0\rangle)$$

obliczmy wzglednie
 kierunku $|\alpha\rangle$



$$= 2|\psi\rangle \left(\sqrt{\frac{N-1}{N}} a - \frac{1}{\sqrt{N}} b \right) - (a|\alpha\rangle + b|x_0\rangle) =$$

obliczmy wzglednie $|\psi\rangle$

$$= 2 \frac{N-1}{N} a |\alpha\rangle - 2 \frac{1}{N} b |x_0\rangle + \frac{2\sqrt{N-1}}{N} a |x_0\rangle - \frac{2\sqrt{N-1}}{N} b |\alpha\rangle - (a|\alpha\rangle + b|x_0\rangle) =$$

$$= \left(2a - \frac{2a}{N} - \frac{2\sqrt{N-1}}{N} b - a \right) |\alpha\rangle + \left(b - \frac{2}{N} b + \frac{2\sqrt{N-1}}{N} a \right) |x_0\rangle$$

$$= \left(a \left(1 - \frac{2}{N} \right) - b \frac{2\sqrt{N-1}}{N} \right) |\alpha\rangle + \left(b \left(1 - \frac{2}{N} \right) + a \frac{2\sqrt{N-1}}{N} \right) |x_0\rangle$$

Czyli po prostu obrót o kąt θ :

$$\cos \theta = 1 - \frac{2}{N} \quad \theta = \arccos \left(1 - \frac{2}{N} \right)$$

$$\cos \theta = 1 - \frac{2}{N} \quad \theta = \arccos \left(1 - \frac{2}{N} \right)$$

W Ag. Grover startujemy ze stanem $|\psi\rangle$

$$\begin{aligned} |\psi\rangle &= \sqrt{\frac{N-1}{N}} |\alpha\rangle + \frac{1}{\sqrt{N}} |\alpha_c\rangle = \\ &= \cos \frac{\theta}{2} |\alpha\rangle + \sin \frac{\theta}{2} |\alpha_c\rangle \end{aligned}$$

I w każdym kroku obracamy się o kąt θ
Czeli po k iteracjach:

$$G^k |\psi\rangle = \cos \left(\frac{2k+1}{2} \theta \right) |\alpha\rangle + \sin \left(\frac{2k+1}{2} \theta \right) |\alpha_c\rangle$$

Jeli N b. duze $\theta \approx \frac{2\sqrt{N-1}}{N} \approx \frac{2}{\sqrt{N}}$

Chcemy, żeby $\frac{2k+1}{2} \theta \approx \frac{\pi}{2}$

$$(2k+1) \cdot \frac{2}{\sqrt{N}} = \pi \quad k \approx \sqrt{N}$$

Czeli konstrukcyjne przypuślenie w porównaniu
z algorytmem Grovera.